

зования в качестве слабопоглощающего материала для многослойных интерференционных наноструктур в рентгеновском диапазоне и диапазоне экстремального ультрафиолета [1—3]. Более того, впервые было показано, что в диапазоне длины волн выше 17,1 нм Be может действовать и как рассеивающий материал, одновременно обеспечивая рекордные значения пиковых коэффициентов отражения и спектральной селективности [4].

Перспектива использования многослойных зеркал на основе пар Mo/Be и Ru/Be на длине волны 11,2—12,4 нм нужда нанолитографии и многослойных зеркал Al/Be на длине волны выше 17,1 нм в качестве отражателей элементов космических телескопов для солнечной астрономии привела к возобновлению экспериментальных работ по созданию высокоотражателей многослойных наноструктур на основе бериллия, которые были прекрасны в начале столетия во многом из-за высоких санитарных норм при работе с бериллием.

Однако, полученные ранее экспериментально показатели отражения для многослойных зеркал Mo/Be [1], Ru/Be [2] и Al/Be [4] были существенно далеки от теоретически возможных. Исследователи связывают падение отражательной способности как правило с ростом межслоевой перехватчатости и взаимодействия основных слоев. Для подбора эффективных методов интегрирования требуется детальное исследование состава и протяженности межслоевых областей. Помимо этого, не менее важны исследование стабильности поверхностных областей под действием низкотемпературных процессов окисления и влияния высокотемпературных процессов на качество интерфейсов во всей структуре.

Традиционные методы изучения состава межслоевой области, как правило, носят разрушающий характер, и поэтому не могут дать полной объективной информации о строении интерфейса. Рентгеновская фотозависимая спектроскопия (РФЭС), являясь неразрушающим методом, позволяет проводить послойный фазовый химический анализ структуры путем изменения угла эмиссии электронов при фиксированной энергии возбуждающих фотонов.

В рамках нашей работы методами рентгенофотоэлектронной спектроскопии проведено исследование состава модельных систем и многослойных наноструктур Mo/Be, Ru/Be и Al/Be. Показано формирование бериллидов молибдена в зависимости от напряжения в многослойных зеркалах Mo/Be: MoBe₂ на границе Mo на Be, MoBe₁₂ — Be на Mo [5]. Продемонстрировано влияние на состав межслоевой области внесения барьера слов Si и B₄C [6]. Исследована термическая стабильность

многослойных структур Mo/Be с и без барьера слов [7]. В молельных зеркалах Ru/Be обнаружено образование бериллидов рутения. Исследовано влияние на состав межслоевой области введения барьера слова бериллия, приводящего к росту отражательной способности зеркал. Проведен анализ влияния низкотемпературных процессов окисления на структуру приповерхностных областей в многослойных наноструктурах Al/Be.

Работа выполнена при поддержке гранта РНФ № 19-72-20125-П. *Интерес также выражают свою благодарность Межdisciplinarnому научному центру по направлению «Нанотехнология», ресурсным центру «Рентгенофотракционные методы исследования» и «Физические методы исследования поверхности» Научного парка СПбГУ и Курчатовского комплексу синхротронно-нейтронных исследований НИЦ «Курчатовский институт» (Лабораторный модуль ЭСХФ) за проведенные исследования.*

Литература

1. Montcalm, C., Bajt, S., Mirkarimi, P. B., Spiller, E. A., Weber, F. J., & Folta, J. A. (1998, June). In Emerging Lithographic Technologies II (Vol. 3331, pp. 42—51). SPIE.
2. Bajt, S., Behymer, R. D., Mirkarimi, P. B., Montcalm, C., Wall, M. A., Kedziora, M., & Folta, J. A. (1999, November). In EUV, X-Ray, and Neutron Sources and Sources (Vol. 3767, pp. 259—270). SPIE.
3. Polkovnikov, V. N., Salashchenko, N. N., Svechnikov, M. V., & Chkhalo, N. I. (2020). Physics-Uspokhi, 63(1), 83.
4. Chkhalo, N. I., Partev, D. E., Polkovnikov, V. N., Salashchenko, N. N., Svechnikov, R. A., Stroule, I. L., ... & Zuev, S. Y. (2017). Thin Solid Films, 631, 106—111.
5. Kasatikov, S. A., Filatova, E. O., Sakhnenko, S. S., Kasatikov, S. A., Gaisin, A. U., Filatova, E. O., Sakhnenko, S. S., Kasatikov, S. A., Gaisin, A. U., Sazanina, E. S., Smirin, R. M., & Polkovnikov, V. N. (2020). The Journal of Physical Chemistry C, 124(41), 22601—22609.
7. Gaisin, A. U., Karataev, A. V., Solomonov, A. V., Pleshkov, R. S., Chkhalo, N. I., & Filatova, E. O. (2021). Physical Chemistry Chemical Physics, 23(41), 23978—23985.
6. Filatova, E. O., Sakhnenko, S. S., Kasatikov, S. A., Gaisin, A. U., Sazanina, E. S., Smirin, R. M., & Polkovnikov, V. N. (2020). The Journal of Physical Chemistry C, 124(41), 22601—22609.

ких плёнок Cu_2SnS_3 из-за наличия примесных фаз и присутствия дефектов кристаллической структуры [4]. Наши научным коллективом показана возможность формирования тонких плёнок Cu_2SnS_3 или Cu_2SnSe_3 без включения примесных фаз по двухстадийной методике: напыления на подложку металлического слоя-прекурсора с последующим отжигом его в паках халькогена [5].

При анализе фазового состава плёнок Cu_2SnS_3 возникают сложности, вызванные тем, что данное соединение может кристаллизоваться в трёх модификациях — кубической, тетрагональной или моноклинной в зависимости от степени упорядочения Cu и Sn в катионной подрешётке кристалла. Рентгенофазовый анализ не позволяет отличить одну модификацию от другой, в то время как на спектрах комбинационного рассеяния света (КРС) такое отличие заметно.

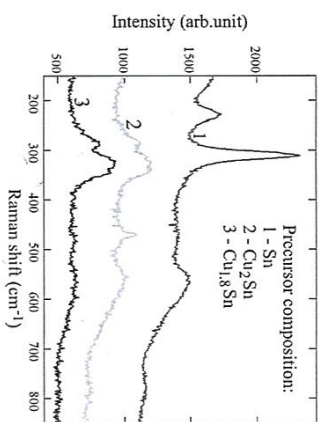


Рис. Спектры КРС для образцов сульфида, сформированных в результате отыска в паках серы при температуре подложки 420°C в течение 20 минут из столя металлизации различного состава. Давление паров серы при этом составило 10^{-2} мм рт. ст.

В данной работе представлены результаты исследования КРС на плёнках сульфидов, сформированных из металлических слоёв различного состава (см. рисунок). Показано, что в условиях обеднения медью удается сформировать пленку Cu_2SnS_3 смеси тетрагональной и моноклинной модификаций с некоторой степенью упорядочения в катионной подрешётке. Для этих модификаций характерны пики КРС, с волновыми числами 290, 335 и 350 cm^{-1} [4]. Наиболее разупорядоченная модификация Cu_2SnS_3 — кубическая даёт пики КРС на значениях волновых чисел 303 и 360 cm^{-1} , каковых на рисунке не наблюдается.

Малые вариации состава металлического прекурсора существенно влияют на фазовый состав формируемой в ходе отжига пленки сульфида. В частности, наличие нежелательной примеси меди CuS в пленке Cu_2SnS_3 всегда наблюдается в условиях стехиометрического состава прекурсора $\text{Cu:Sn} = 2:1$ в атомных долях [4]. На рисунке соединению CuS отвечает пик КРС, соответствующий рамановскому сплайну в 470 cm^{-1} . Использование прекурсора, который обеднён медью, начиная с соотношения элементов $\text{Cu:Sn} = 1.8:1$ в атомных долях, позволяет сформировать чистую Cu_2SnS_3 без примеси CuS . Этот эффект объясняется в литературе [2] особенностями физико-химических процессов, происходящих на границе раздела конденсированная среда — паровая фаза. В ходе высокотемпературного отжига могут формироваться молекулы относительно жесткого сульфида олова SnS , которые покидают пленку и вызывают в ней зернистость олова. Для предупреждения такого явления и приходится корректировать исходный состав металлизации-прекурсора.

Литература

1. W. Herche, Renewable and Sustainable Energy Reviews, 2017, 590—595.
2. V. R. M. Reddy, Journal of Industrial and Engineering Chemistry, 2019, № 39.
3. Jie Jiang, Solar Energy, 2019, 194, 986—994.
4. M. Y. Zaki, Scientific Reports - Nature, 2022, 12, 7958.
5. А. В. Буданов, Конденсированные среды и межфазные границы, 2019, 21, 24—29.

РЕНТГЕНОСПЕКТРАЛЬНЫЕ ИССЛЕДОВАНИЯ СОСТАВА МЕЖСЛОЙЕВЫХ ОБЛАСТЕЙ МНОГОСЛОЙНЫХ ИНТЕРФЕРЕНЦИОННЫХ НАНОСТРУКТУР НА ОСНОВЕ БЕРИЛИЯ ДЛЯ ЭФУР ДИАПАЗОНА

А.У.Гайсин¹, С. С. Сахоненков¹, Е. О. Филатова¹
¹Санкт-Петербургский государственный университет, ул. Ульяновская, д. 1, Санкт-Петербург, Россия
e-mail: a.gaisin@spbu.ru

Благодаря малой плотности, а как следствие, малому поглощению практически во всем спектральном диапазоне рентгеновский лучей, бериллий является чрезвычайно перспективным материалом для исполь-